

毛细管电动色谱分离手性氨基酸及其在生物样品分析中的应用

付煜荣^{1,2} 颜流水¹ 罗国安^{*1} 陈翠真³ 王文明¹ 张兰桐⁴

¹(清华大学分析中心,北京 100084) ²(河北北方学院化学教研室,张家口 075000)

³(北京市眼科研究所,北京 100005) ⁴(河北医科大学药学院,石家庄 050017)

摘要 建立了MEKC法分离丙氨酸(Ala)、谷氨酸(Glu)和天门冬氨酸(Asp)三对手性氨基酸,并对大鼠正常组和白内障组晶体和血清中D-Ala、L-Ala、D-Glu、L-Glu、D-Asp和L-Asp进行定量分析。利用FITC柱前衍生,以-环糊精(-CD)作为手性添加剂,激光诱导荧光检测(LIF),优化电泳条件为:气压进样5 s,分离温度25℃,分离电压为20 kV,运行缓冲溶液为40 mmol/L硼砂缓冲溶液(pH 9.3),其中包含50 mmol/L SDS和13 mmol/L-CD。考察了硼砂缓冲溶液浓度、pH值、分离电压、-环糊精浓度对分离的影响。在优化电泳条件下,上述3种氨基酸对映体均得到基线分离,并可对大鼠的晶体和血清进行定量分析。本方法操作简单,检测灵敏度高,可用于药品质量监测以及生物样品的分析。

关键词 毛细管电动色谱,激光诱导荧光,氨基酸对映体,-环糊精,大鼠

1 引言

对映体异构体的分离要求分离技术具有高灵敏度、高选择性和高分辨率。毛细管电动色谱(MEKC)是手性拆分常用的分离模式之一,只需在背景电解质中添加手性选择剂,构建手性环境,即可进行手性拆分。环糊精及其衍生物(CDs)是应用最广泛的手性选择剂^[1,2]。人体中存在D-氨基酸,其含量一般较L型低,随着检测技术的不断发展,检测极微量D-氨基酸成为可能。文献[3]以气相色谱法研究了Asp消旋化的增长率与年龄的相关性。Fisher等^[4]报道了老年前期痴呆患者脑室和腰椎脑脊液中存在游离的D-氨基酸。某些D-氨基酸与疾病的相关性正引起人们的重视。

本实验所研究的丙氨酸、谷氨酸和天门冬氨酸是与生命科学密切相关的手性氨基酸。丙氨酸(Ala)、谷氨酸(Glu)和天门冬氨酸(Asp)是分子量较小且均不含苯环的氨基酸,因而手性拆分难度较大。本实验利用荧光素异硫氰酸酯(FITC)进行柱前衍生化的方法,采用MEKC分离模式,以十二烷基硫酸钠(SDS)为准固定相,以-环糊精(-CD)作为手性选择添加剂,拆分D,L-Ala、D,L-Glu和D,L-Asp,并以高灵敏度的激光诱导荧光(LIF)检测器进行检测。本方法也可用于正常组和白内障组大鼠晶体、血清中3种氨基酸D,L含量的分析,为临床检验和深入研究发病机理提供重要的理论依据。

2 实验部分

2.1 仪器和试剂

P/ACE 5500型毛细管电泳仪及激光诱导荧光检测器(美国 Beckman公司),_{ex} 488 nm,_{em} 520 nm;未涂渍石英毛细管柱,37 cm×50 μm i.d.,(河北永年光纤厂);pH计(Beckman公司);CX-100型超声波清洗机(北京市医疗设备二厂);高速离心机(上海安亭科学仪器厂),1.6×10⁴ r/min。硼砂(Na₂B₄O₇·10H₂O,分析纯,北京红星化工厂)。十二烷基硫酸钠(SDS,USA,电泳级);氢氧化钠,分析纯(北京化工厂);荧光素异硫氰酸酯(FITC,Mr=384.1)、-CD(美国Sigma公司),含量大于99%;D-Asp、D-Glu和D-Ala为美国Fluka公司产品,纯度大于99.8%。L-Asp、L-Glu和L-Ala(上海第二军医大学化学试剂研究室),生化试剂。实验用水为二次去离子水。

正常组和白内障组Wistar大鼠晶体、血清由北京眼科研究所陈翠真研究员提供,于-20℃下冰冻保存。鼠龄为30天龄,白内障模型用链脲佐菌素诱导^[5]。

2003-12-20 收稿;2004-05-09 接受

本文系国家973项目资助(No.2001CB510306)

2.2 生物样品预处理

2.2.1 血清预处理 取一定体积的血清($<100 \mu\text{L}$)于1 mL离心管中,加入5倍体积的丙酮去蛋白,静置1 min, $1.2 \times 10^4 \text{ r/min}$ 高速离心20 min,取全部上清液, $0.45 \mu\text{m}$ 滤膜过滤后,衍生化和CE分析。

2.2.2 晶体预处理 准确称取10.00 mg冰冻保存的大鼠晶体(湿重)于匀浆套管,加入300 μL 40 mmol/L硼砂缓冲溶液(pH 9.3),冰冻匀浆10 min,将溶液转移至1 mL离心管中,用200 μL 上述缓冲液洗涤匀浆棒和套管,合并溶液,加1滴35% HClO₄去蛋白,静置1 min, $1.2 \times 10^4 \text{ r/min}$ 高速离心20 min,取上清液,以1 mol/L NaOH调节pH为9.3,经 $0.45 \mu\text{m}$ 滤膜过滤后,进行衍生化和CE分析。

2.3 化学衍生化

依据文献[4,6]并做改进,取一定量待测样品,加入过量的浓度为 $2.5 \times 10^{-3} \text{ mol/L}$ 荧光素异硫氰酸酯(FITC)的丙酮溶液(加入的FITC的量为待测样品中氨基酸总含量的8~10倍,大鼠晶体和血清中氨基酸总量参考文献[7]),加入丙酮,使FITC和丙酮的体积之和为400 μL ,2滴0.5%丙酮-吡啶溶液,加入40 mmol/L,pH=9.3的硼砂缓冲溶液至1 mL。在(40 ± 0.5)下避光恒温12 h,即可上机测定。

2.4 电泳条件

2.4.1 运行缓冲溶液 40 mmol/L硼砂溶液(pH=9.3),其中包含13 mmol/L的 -CD 、50 mmol/L的SDS,电泳前用 $0.45 \mu\text{m}$ 滤膜过滤,并超声脱气。

2.4.2 分离条件 将衍生化后的样品以3.0 kPa气压进样5 s,分离电压为20 kV(540 V/cm),电泳温度为25,电泳时间10 min,激光诱导荧光(LIF)检测,氩离子激光器,激发波长488 nm,发射波长520 nm。

2.5 标准曲线的绘制

配制50.00 mg/L标准品水溶液各50.0 mL(4下存放);用上述标准储备液配制2.5、5.0、10.0、15.0、20.0、30.0、40.0及50.0 mg/L系列标准溶液各10.0 mL;取40 μL 系列标准溶液,按“2.3”进行衍生化,以优化后的电泳条件“2.4”进行分离分析,LIF检测,记录吸收峰面积扣除试剂空白值。以浓度C对吸收峰面积A作图。6种物质的回归方程、相关系数r、线性范围和检出限($S/N = 3$)见表1。

表1 6种氨基酸回归方程、线性范围和检出限($n = 6$)

Table 1 The regressive equation, linear ranges and determination limits of amino acids ($n = 6$)

氨基酸 Amino acids	回归方程 Regression equation	相关系数 r	线性范围(mg/L) Linear ranges	检出限(mg/L) Determination limits
D-Ala	$A = 278.4 C - 2.446$	0.9994	0.05~2.00	0.005
L-Ala	$A = 271.4 C - 5.684$	0.9990	0.12~2.00	0.010
D-Glu	$A = 158.3 C - 13.68$	0.9991	0.12~2.00	0.050
L-Glu	$A = 99.14 C - 5.691$	0.9993	0.12~2.00	0.050
D-Asp	$A = 61.03 C - 1.425$	0.9993	0.12~1.50	0.050
L-Asp	$A = 67.77 C - 1.515$	0.9991	0.12~1.50	0.050

A. peak area; C. (mg/L)

2.6 回收率测定

取已知含量的血清20 μL ,称取10.0 mg已知含量的晶体3份,分别加入浓度为20 mg/L的6种标准溶液40、30和20 μL ,按“2.2”进行预处理,按“2.3”衍生化和按“2.4”进行电泳分析,测得回收率及RSD见表2和表3。

表2 分析血清方法的回收率和精密度

Table 2 The recovery and precision from rat serum

成分 Components	回收率 Recovery (%, $n = 6$)	RSD (%)	RSD (%)	
			日内 Intra-day ($n = 9$)	日间 Inter-day ($n = 5$)
D-Ala	100.7	4.1	4.2	4.6
L-Ala	100.4	4.8	2.3	3.5
D-Glu	102.0	4.7	3.8	4.7
L-Glu	96.3	3.6	4.9	6.4
D-Asp	102.0	4.7	3.2	2.7
L-Asp	100.6	5.2	2.2	3.0

表3 分析晶体方法的回收率和精密度

Table 3 The recovery and precision from rat lens

成分 Components	回收率 Recovery (%, $n = 6$)	RSD (%)	RSD (%)	
			日内 Intra-day ($n = 9$)	日间 Inter-day ($n = 5$)
D-Ala	101.9	3.5	2.9	2.2
L-Ala	99.6	5.5	4.5	5.0
D-Glu	101.7	5.1	4.9	4.8
L-Glu	97.6	4.2	2.2	4.2
D-Asp	102.8	4.5	3.4	5.4
L-Asp	101.0	5.9	4.8	4.7

2.7 精密度考察

选定某一浓度的血清样品和晶体样品,按“2.2”进行预处理,按“2.3”衍生化,按“2.4”进行电泳分析,于一日内重复测定9次,计算D-Ala、L-Ala、D-Glu、L-Glu、D-Asp和L-Asp日内精密度;于同一条件连续测定5日,每日测3次,计算6种组分的日间精密度。血清和晶体中6种组分测定的精密度分别见表2和表3。

3 结果与讨论

3.1 电泳条件的优化

依文献[6~8]选择硼砂缓冲液为背景电解质,包含50 mmol/L SDS。本实验采用50 μm ×37 cm融硅毛细管进行电泳条件的优化;考察了背景电解质的浓度、pH值、电压和手性选择剂的浓度对分离的影响。

3.1.1 背景电解质(BGE)浓度对拆分的影响 考察了硼砂缓冲溶液(pH=9.3)浓度分别为20、40、60 mmol/L时,对3种氨基酸对映体拆分的影响,其它条件同“2.4”。结果显示,3种浓度条件下,D、L-Glu、D、L-Asp均能很好的被分离。而对于D、L-Ala,只有40 mmol/L的硼砂缓冲溶液可以使这3种对映体同时达到基线分离,且也可与其它试剂峰达到基线分离。D、L-Ala的 R_s 为1.57,D、L-Glu的 R_s 为3.15,D、L-Asp的 R_s 为2.77。谱图见图1。

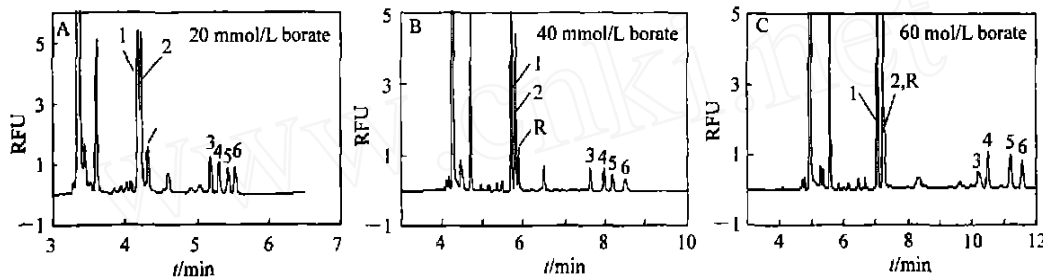


图1 不同硼砂浓度对3种氨基酸对映体分离的影响

Fig. 1 Effects of different concentration of borate buffer on separation

电泳条件(condition): pH 9.3 的硼砂缓冲液(borate buffer at pH 9.3); 十二烷基硫酸钠(sodium dodecyl sulfate, SDS): 50 mmol/L; -环糊精(-CD): 13 mmol/L; 电压(voltage): 20 kV; 柱温(temperature): 25℃; 气压进样(pressure injection): 5 s; 激光诱导荧光检测(laser-induced fluorescence (LIF) detector)。6种组分浓度均为1 mg/L (the contents of components were 1 mg/L)。1. D-alanine (D-Ala); 2. L-alanine (L-Ala); 3. D-glutamic acid (D-Glu); 4. L-glutamic acid (L-Glu); 5. D-aspartic acid (D-Asp); 6. L-aspartic acid (L-Asp); R 及其余峰均为系统峰(system peaks)。

3.1.2 背景电解质的pH值对分离的影响 在其它条件不变的情况下,40 mmol/L 硼砂缓冲溶液用1 mol/L NaOH及1 mol/L H₃BO₃调节pH值分别为8.5、9.0、9.3、10.0和10.5,考察不同pH值的缓冲液对分离的影响。在所研究的3种氨基酸中,D、L-Ala最难分离,可能是其相对分子量最小的缘故。实验表明,pH=8.5时,D、L-Ala未能分离;pH=9.3可达到基线分离。但随着pH增大,电流明显增大,且迁移时间延长。电流越大,则产生的焦耳热越多,引起区带展宽,分离度下降。为此实验选择背景电解质的pH值为9.3。

3.1.3 分离电压对分离的影响 在其它条件不变的情况下,本实验考察了分离电压为10、15、20和25 kV时对分离的影响。实验表明,10、15和20 kV均可达到基线分离。但随着分离电压的降低,迁移时间延长。10 kV时,分离时间达20 min。增大分离电压,迁移时间变短,分离度降低。25 kV时,L-Ala峰与试剂峰重合。且增大电压,电流也随之增大。分离电压为25 kV时,电流已达110 μA。本实验选择分离电压为20 kV,分离可在10 min内完成,电流为73 μA。不同电压对分离的影响见图2。

3.1.4 手性选择剂浓度对拆分的影响 环糊精(CDs)是一类具有较强手性选择性的手性试剂,经过筛选实验,选择-CD作为手性选择剂^[9,10]。考察了-CD的浓度为4、6、8、10、13和16 mmol/L对拆分的影响,结果显示,当其浓度13 mmol/L时3对氨基酸对映体均可达基线分离,而<13 mmol/L时,则不能达基线分离,且随着-CD浓度的减小,分离度明显降低,不同-CD的浓度对分离的影响见图3。

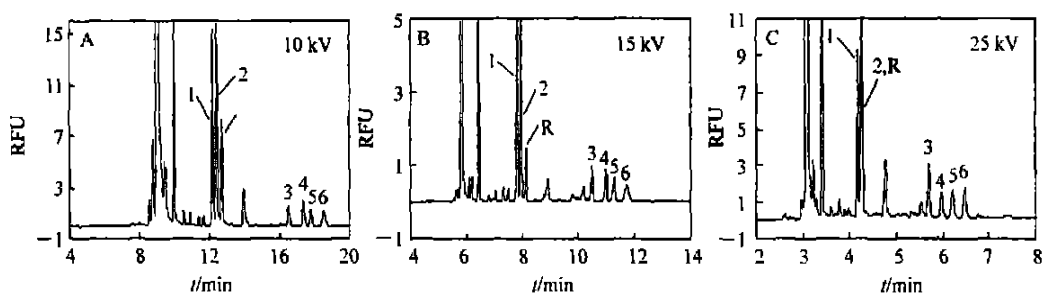


图2 不同电压对分离的影响

Fig. 2 Effects of different voltage on separation

其它条件同图1中B(Other separation condition and peaks are identical to B in Fig. 1)。

3.2 样品分析结果

实验分析了大鼠的正常组和白内障组晶体、血清中3种氨基酸D,L含量,样品电泳谱图见图4,结果见表4。从表中可看出,血清中正常组D-Ala、L-Ala、L-Glu、L-Asp含量较白内障组高($P < 0.05$),D-Glu和D-Asp含量两组无显著性差异($P > 0.05$);晶体中D-Ala含量正常组较白内障组高($P < 0.05$),L-Ala、D-Asp含量正常组较白内障组低($P < 0.05$),D-Glu、L-Glu、L-Asp含量两组无显著性差异($P > 0.05$)。D型氨基酸在正常生物体内的检出,将有助于进一步揭示生物体的生理生化奥秘。

表4 正常组和白内障组大鼠血清晶体D-Ala、L-Ala、D-Glu、L-Glu、D-Asp和L-Asp的含量

Table 4 The serum concentration and lens concentration of D-Ala, L-Ala, D-Glu, L-Glu, D-Asp and L-Asp in control rats and in cataract rats

成分 Components	正常组 Control		白内障组 Cataract	
	$\bar{X} \pm SD$ ($\mu\text{g/L}$) 血清 Serum	$\bar{X} \pm SD$ ($\mu\text{g/g}$) 晶体 Lens	$\bar{X} \pm SD$ ($\mu\text{g/L}$) 血清 Serum	$\bar{X} \pm SD$ ($\mu\text{g/g}$) 晶体 Lens
D-Ala	20.1 ±3.6	376 ±71	13.6 ±1.8	205 ±87
L-Ala	27.0 ±1.7	131 ±43	23.0 ±4.8	212 ±98
D-Glu	4.51 ±0.81	65.1 ±7.9	4.62 ±0.71	63.0 ±10.0
L-Glu	15.0 ±4.3	432 ±132	9.3 ±2.4	490 ±140
D-Asp	3.53 ±0.53	32.8 ±3.9	3.64 ±0.75	45.8 ±3.8
L-Asp	6.3 ±2.9	117 ±40	4.39 ±0.84	119 ±36

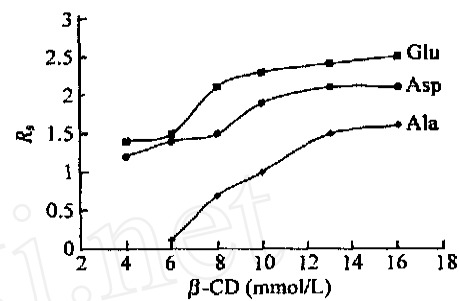


图3 不同浓度-环糊精对分离度的影响

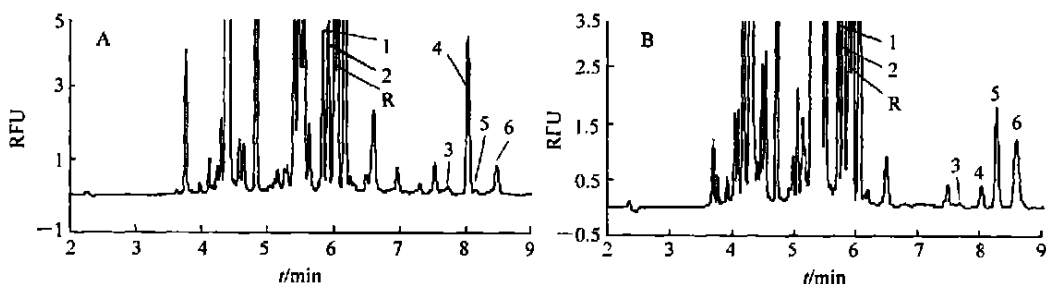
Fig. 3 Effects of different concentration of β -cyclodextrin (β -CD) on separation

图4 正常大鼠晶体和血清电泳谱图

Fig. 4 Electropherogram of lens and serum of control rat

电泳条件和峰的指认同图1中B(conditions and peaks are identical to those in Fig. 1B);A. 晶体(lens);B. 血清(加入20 μL 50 mg/L D,L-Asp标准液)(serum, added 20 μL , 50 mg/L D,L-Asp standard solution)。

References

- 1 Luo Guoan(罗国安), Wang Yiming(王义明). *Chinese Journal of Chromatography(色谱)*, 1995, 13(4): 254~256
- 2 Deng Yanzhuo(邓延倬), He Jinlan(何金兰). *High performance Capillary Electrophoresis(高效毛细管电泳)*. Beijing(北京): Science Press(科学出版社), 2000: 131~135
- 3 Mastets P M, Bada J L, Zioler J S. *Nature*, 1977, 268: 71~73
- 4 Fisher G H, Petruccellil L, Cardneer C. *Mol. Chem. Neuropathol.*, 1994, 23(2-3): 115~124
- 5 Chen Cuizhen(陈翠真), Dong Bing(董冰), Song Xudong(宋旭东). *Chinese Journal of Clinical Ophthalmic Research(眼科学研究)*, 2000, 18(1): 38~40
- 6 Dabek-Zlotorzynska E, Maruszak W. *J. Chromatogr. B*, 1998, 714: 77~85
- 7 Shang Fu(商福), Chen Cuizhen(陈翠真), Dong Bing(董冰). *Chinese Journal of Capital Institute of Medicine(首都医学院学报)*, 1992, 13(4): 298~303
- 8 Causse E, Siri N. *J. Chromatogr. B*, 2000, 741: 77~83
- 9 Yang Lili(杨莉丽), Yuan Zhuobin(袁倬斌). *Chinese J. Anal. Chem.*(分析化学), 1999, 27(9): 1065~1068
- 10 Bai Dongmei(白冬梅), Zhao Xueming(赵学明), Hu Zongding(胡宗定). *Chinese J. Anal. Chem.*(分析化学), 2001, 29(4): 413~415

Chiral Analysis of Amino Acids in Biological Samples by Micellar Electrokinetic Chromatography with Laser-induced Fluorescence Detection

Fu Yurong^{1,2}, Yan Liushui¹, Luo Guoan^{*1}, Chen Cuizhen³, Wang Yiming¹, Zhang Lantong⁴

¹(Analytical Center, Tsinghua University, Beijing 100084)

²(Chemistry Department, Hebei North University, Zhangjiakou 075000)

³(Beijing Institute of Ophthalmology, Beijing 100005)

⁴(College of Pharmacy, Hebei Medical University, Shijiazhuang 050017)

Abstract A micellar electrokinetic chromatography (MEKC) with laser-induced fluorescence detection (LIF) for chiral analysis of amino acids in biological samples was established. These amino acids, including *D* or *L*-alanine (Ala), *D* or *L*-glutamic acid (Gu) and *D* or *L*-aspartic acid (Asp), were derivatized with fluorescein isothiocyanate (FITC). The optimized conditions in electrophoresis were that uncoated fused-silica capillary (50 μm ×37 cm, 30 cm to detector) was used, running voltage was 20 kV, running buffer was 40 mmol/L borate buffer (pH 9.3) containing 50 mmol/L sodium dodecyl sulfate (SDS) and 13 mmol/L -cyclodextrin (-CD), the sample solution was injected 5 s with pressure mode, separated at 25 °C, and monitored with a LIF detection. The baseline separation of these amino acid enantiomers was achieved. The linear ranges of six FITC-derivatives was about 0.050~2.000 mg/L, and the determination limits (*S/N*=3) were 0.005~0.050 mg/L. The average recoveries (*n*=6) and RSD of the six FITC-derivatives were 96.33%~102.0% and 3.6%~5.2% from rat serum, 97.59%~102.8% and 3.5%~5.9% from rat lens. The within-day precisions (*n*=9) and between-day precisions (*n*=5) of them were lower than 5.0% and 6.5% from rat serum, lower than 5.0% and 5.5% from rat lens, respectively.

Keywords Micellar electrokinetic chromatography, laser-induced fluorescence detection, amino acid enantiomers, -cyclodextrin, rat

(Received 20 December 2003; accepted 9 May 2004)